

**ЧИСЛЕННОЕ ИССЛЕДОВАНИЕ ТРЕХМЕРНЫХ ЗАДАЧ  
ВНЕДРЕНИЯ И РАЗРУШЕНИЯ ЦИЛИНДРОВ  
ПРИ НЕСИММЕТРИЧНОМ НАГРУЖЕНИИ**

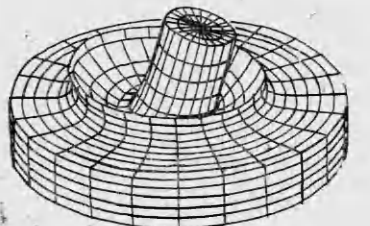
*В. А. Горельский, И. Е. Хорев, Н. Т. Югов*

(*Томск*)

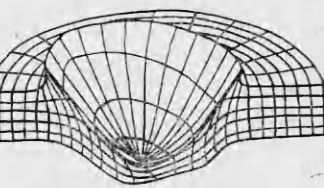
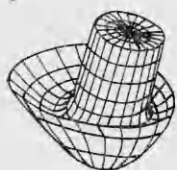
Исследование задач высокоэнергетического контакта твердых тел, способных испытывать большие пластические деформации при динамическом взаимодействии, представляет собой сложную и актуальную проблему механики сплошной среды. Применяемые в настоящее время экспериментальные методики позволяют регистрировать лишь конечные результаты процесса разрушения объемных металлических тел, не давая возможности выяснить динамику развития структуры повреждений. В этом случае большую роль приобретает численное моделирование реализующихся пространственных течений и разрушения металлических тел, пластичность которых в условиях интенсивного динамического нагружения резко возрастает [1]. Наиболее обоснован для расчета разрушений в условиях удара феноменологический подход, основанный на введении в качестве непрерывной меры разрушения удельного объема трещин (объема трещин в единице массы материала).

Использованный в настоящей работе для моделирования разрушения функциональный вид кинетического соотношения [2] выбран таким образом, чтобы при малых напряжениях из него следовала известная экспоненциальная зависимость долговечности образца от нагрузки [3], а при больших напряжениях имелась более слабая зависимость, как это наблюдалось экспериментально [4]. Константы кинетической модели разрушения определялись на основе экспериментальных данных, полученных в широком диапазоне условий нагружения. Для ряда материалов они приведены в работах [2, 5]. Трехмерная задача высокоскоростного взаимодействия цилиндрических тел и их разрушения исследовалась численным методом конечных элементов [6]. Используемая модель материала представляла собой сжимаемую упругопластическую среду, свойства которой по мере развития повреждений непрерывно изменялись [7].

Рассматривалась задача несимметричного взаимодействия цилиндра диаметром  $d = 12,5$  и высотой  $h = 37,5$  мм с пластиной конечной толщины (10 мм). Относительная скорость встречи  $v_0/a_0 = 0,294$ , где  $a_0$  — скорость звука в исследуемом материале. Угол между нормалью к лицевой поверхности пластины и вектором скорости  $\varphi = 15^\circ$ . На контактной границе взаимодействующих стальных тел в расчетах заданы условия слипания. Расчетные конфигурации внедряющегося цилиндрического ударника и пластины в момент времени  $t = 16$  мкс после начала взаимодействия приведены на рис. 1. Видно, что внедрение ударника сопровождается особенно интенсивным течением материала пластины из формируемого кратера к лицевой его поверхности в направлении горизонтальной скорости движения цилиндра. На рис. 2 представлены отдельно ударник и сечение образованного им кратера, которые иллюстрируют существенно



*Рис. 1.*



*Рис. 2.*

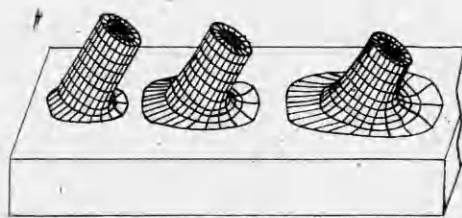
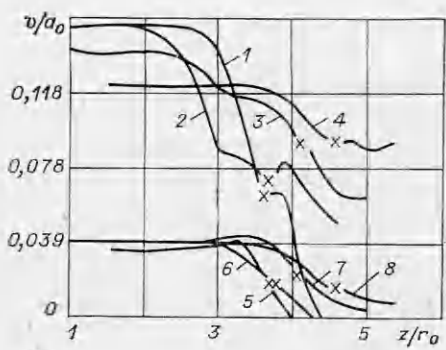


Рис. 5.

Рис. 3.



Рис. 4.

несимметричный характер процесса деформирования соударящихся тел. Передняя часть контактной поверхности ударника имеет форму, близкую к полусферической, причем контактная поверхность ударника к  $t = 16$  мкм уже выходит за начальную плоскость тыльной поверхности пластины. Анализ показывает, что в данном случае перфорация пластины происходит в основном за счет ее вязкого растекания и лишь на последнем этапе вступает в действие механизм выпрессовывания диска.

Проведены также расчеты для начальных условий, когда механизм перфорации пластины качественно иной. В частности, в трехмерной постановке решалась задача соударения стального бойка ( $d = 20$  мм,  $h = 37,5$  мм) со стальной пластиной толщиной 10 мм при  $\varphi = 15^\circ$  и  $v_0/a_0 = 0,157$ .

На рис. 3 представлены расчетные зависимости вертикальной и горизонтальной скоростей вдоль оси симметрии ударника и пластины. Профили, иллюстрирующие распределение вертикальной скорости, соответствуют моментам времени (в мкс): 1 — 2, 2 — 4, 3 — 12, 4 — 22. Этим же моментам времени соответствуют зависимости горизонтальной скорости (кривые 5 — 8). Положение осевой точки контактной поверхности отмечено крестиками. Из рисунка следует, что составляющие скорости осевых точек пластины к  $t = 22$  мкс становятся практически равными соответствующим составляющим скорости осевой точки контактной поверхности ударника. Это свидетельствует о завершении к данному моменту времени процесса перфорации. Происходит выпрессовка из пластины части материала, площадь которого для указанного относительно небольшого угла взаимодействия близка к миделеву сечению ударника. Одним из критериев, характеризующих разрушение пластин в случае выпрессовки диска, является удельная энергия сдвиговых деформаций [8]. Предполагается, что по достижении ею в некотором сечении пластины критического для данного конкретного материала значения в нем образуется трещина сдвига, которая, распространяясь от лицевой поверхности, выходит на тыльную поверхность пластины.

На рис. 4, а— $\sigma$  приведены диаграммы распределения удельной энергии сдвиговых деформаций на лицевой, срединной и тыльной поверхностях пластины в момент  $t = 22$  мкс. Максимальное и минимальное значения удельной энергии сдвиговых деформаций по замкнутой границе,

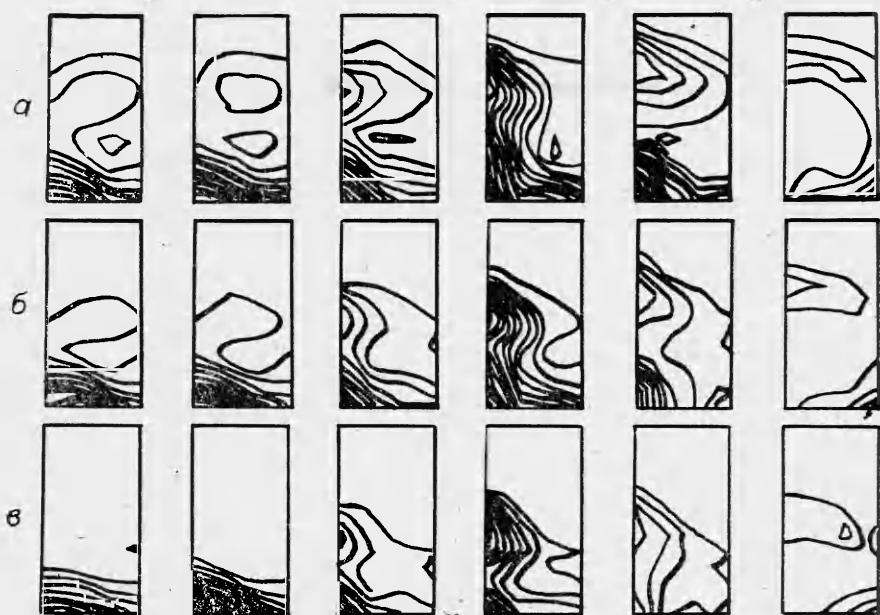


Рис. 6.

описывающей контуры выбиваемого диска, составляют на лицевой поверхности преграды 202 и 164 кДж/кг, на срединной поверхности 87 и 70 кДж/кг, а на тыльной — 53 и 32 кДж/кг. Эти значения хорошо коррелируют с критической удельной энергией сдвиговых деформаций для сходного по характеристикам материала, приведенной в [9]. С целью более подробного исследования особенности деформирования и разрушения цилиндрических ударников дополнительно рассмотрена задача взаимодействия стальных цилиндров с жесткой стенкой в широком диапазоне начальных условий.

На рис. 5 приведены конфигурации процесса деформирования цилиндрического ударника, соответствующие  $t = 4, 6$  и  $8$  мкс ( $d = 12,5$  мм,  $h = 25$  мм,  $\varphi = 30^\circ$ ,  $v_0/a_0 = 0,294$ , скорость звука в стали составляла 5100 м/с).

Динамику возникновения и развития повреждений в цилиндрическом ударнике характеризует рис. 6,  $a - \sigma$ , где представлено распределение изолиний удельного объема трещин в вертикальных сечениях цилиндра в моменты  $t = 6, 8$  и  $10$  мкс соответственно. Сечения расположены через каждые  $30^\circ$ , начиная от плоскости симметрии удара. Первое левое из приведенных сечений образует с плоскостью симметрии угла  $\alpha = 30^\circ$ . Ось симметрии цилиндра соответствует правой стороне каждого прямоугольника. Анализ полученных результатов свидетельствует, что в данном случае повреждения вблизи передней кромки цилиндра в основном обусловлены растягивающими напряжениями, вызванными растеканием материала цилиндра по препятствию. Удельный объем трещин в осевой точке контактной поверхности цилиндра к  $t = 6$  мкс составляет  $0,96 \cdot 10^{-5}$  м $^3$ /кг, а максимальные повреждения наблюдаются в вертикальных сечениях цилиндра при  $\alpha = 120^\circ$ . С течением времени область распространения трещин в данных сечениях растет и максимальное значение удельного объема трещин равняется  $1,13 \cdot 10^{-5}$  и  $1,6 \cdot 10^{-5}$  м $^3$ /кг при  $t = 8$  и  $10$  мкс соответственно. Наблюдается характерная картина распределения повреждений в ударнике, свидетельствующая о том, что наиболее вероятным следует ожидать возникновение магистральных трещин в указанных сечениях цилиндра. Следует отметить, что в исследованном цилиндре относительно малого удлинения значительного уровня достигают разрушения вблизи тыльной поверхности.

Таким образом, проведенный трехмерный численный расчет несимметричного соударения цилиндрического бойка с пластиной позволил исследовать особенности перфорации пластины в широком диапазоне начальных условий. С ростом скорости встречи вязкое растекание материала пластины становится определяющим механизмом пробивания. Передняя часть цилиндра приобретает при внедрении существенно несимметричную форму. Показано наличие при внедрении ударника двух действующих механизмов разрушения — волнового и деформационного.

#### ЛИТЕРАТУРА

1. П. Бриджмен. Исследование больших пластических деформаций и разрыва. М.: ИЛ, 1955.
2. Г. И. Канель, А. И. Дремин.— В кн.: Тез. докл. III Всесоюз. симпозиума по импульсным давлениям. М., 1979.
3. В. Р. Регель, А. И. Слуцкер, Э. Е. Томашевский. Кинетическая природа прочности твердых тел. М.: Наука, 1974.
4. С. А. Новиков. ФГВ, 1985, 21, 6, 77.
5. Г. И. Канель, В. В. Щербани. ФГВ, 1980, 16, 4, 93.
6. В. А. Горельский, И. Е. Хорев, И. Т. Югов. ПМТФ, 1985, 4, 112.
7. И. Е. Хорев, В. А. Горельский.— В кн.: Детонация. Черноголовка, 1981.
8. R. T. Sedgwick, L. J. Hageman, L. J. Herrman e. a. Int. J. Eng. Sci., 1978, 16, 11, 859.
9. Г. П. Меньшиков, В. А. Одинцов, Л. А. Чудов. Изв. АН СССР. МТТ, 1976, 1, 125.

Поступила в редакцию 27/III 1986

УДК 662—215.1

#### О ПРОЯВЛЕНИИ ПОЛИМОРФНЫХ ПРЕВРАЩЕНИЙ ВЕЩЕСТВА ДОБАВКИ В ИЗМЕРЕНИЯХ ВЛНОВЫХ И МАССОВЫХ СКОРОСТЕЙ ДЕТОНАЦИИ ВВ

С. В. Першин, А. Н. Дремин, С. В. Пятернев, Д. Н. Цаплин

(Черноголовка)

Настоящая работа продолжает исследования [1, 2], в которых показано, что увеличение скорости детонации  $D$  на ее зависимости от начальной плотности  $\rho_{cm}$  смеси ВВ с добавками графита и графитоподобного нитрида бора обусловлено протеканием полиморфных превращений этих веществ в зоне химической реакции [1], в конце которой на зарегистрированном магнитоэлектрическим методом профиле детонационной волны (ДВ) наблюдается резкий спад массовой скорости [2].

Цель настоящей работы — подтвердить справедливость данной трактовки. Для этого в круг исследований наряду с углеродом и нитридом бора включены добавки кремния и кварца — веществ, также претерпевающих полиморфные превращения в ударных волнах.

Изучались зависимости скорости детонации от начальной плотности смесей ВВ с добавками алмаза, графитоподобного нитрида бора, кремния и кварца, а также профили массовой скорости в смеси ТГ с кремнием. Постановка экспериментов описана в [1, 2]. Точность измерения  $\rho_{cm}$  и  $D$  в них не хуже 0,5 %. Полученные результаты представлены на рис. 1—3.

Зависимости  $D(\rho_{cm})$  для смесей гексогена с 25 % (по массе) алмаза и графита, немотря на значительно меньший ( $<3$  против 80 мкм) по сравнению с графитом размер частиц алмаза и на его уникальную (в 5 раз большую, чем у меди) теплопроводность, расположены в непосредственной близости друг от друга (см. рис. 1). Тот факт, что кривая для алмаза находится выше, свидетельствует о том, что переход графита в алмаз в зоне химической реакции должен сопровождаться ростом  $D$ , что и наблюдается на опыте [1]. Ситуация в данном случае такая же, как и с нитридом бора — линия  $D(\rho_{cm})$  для кубического нитрида бора лежит